

I-125 横リブの補剛効果を考慮した中間ダイアフラムの設計法について

川崎重工(株) 正員 ○長井 正嗣
大阪大学 正員 小松 定夫

1. まえがき

最近、実用的見地から中間ダイアフラムの設計に関する幾つかの提案がなされているが、ダイアフラムの必要剛度については必ずしも統一的見解とはなっていないようである。そこで、箱桁の断面変形防止に及ぼす横リブの効果を考慮した場合の箱桁の断面変形特性を詳細に検討し、既往の設計法の理論的位置づけを明確にするとともに、断面変形に伴う付加応力度を箱桁の許容応力度の数%以内に抑えるという基準のもとに適正なダイアフラム間隔と剛度の選定が可能になる、より自由性の高い設計法を提案する。

2. 基礎理論

横リブの補剛効果を考慮した場合の箱桁の断面変形挙動を解明する簡易式は以下のように与えられる。

$$EI_{DW}V''' - kV = P_0 \quad (1)$$

ここで、 V は断面変形率、 EI_{DW} は断面変形に関する剛性、 P_0 は静止荷重(文献1)で定義されているものと同一である。また、 k は箱桁軸方向単位長さ当たりの閉ラーメンの曲げ剛性である。

さて、式(1)における箱桁固有の無次元パラメーターを考えると以下の2つが得られる。

$$\pi_1 = \beta L_D = \sqrt{k/EI_{DW} \cdot L_D} \quad (2) \quad \pi_2 = KL_D^3/EI_{DW} (\gamma) \text{ or } K/kL_D \quad (3)_{a,b}$$

ここで、 K はダイアフラムのバネ定数、 L_D はダイアフラムの間隔である。既往の設計法のうち、 $IDWR^2$ は π_1 と π_2 (式(3)_b)を考慮しているが、文献3), 4) は π_2 (式(3)_b)のみを考慮している。一方、文献1)では、ダイアフラムが十分剛な状態ではその断面変形に及ぼす影響は少ないとして、またこれは安全側であるという立場から π_2 (式(3)_a)を相關剛比と名付けて考慮している。

3. 断面変形特性

断面変形に伴う付加力学量をパラメーター π 、及び γ で整理したものの一部を図1, 2に示す。ここで、 M_{DW} はドリフト-メントで桁に誘発されるドリフト力に比例する。また、図中、 $\rightarrow A \rightarrow$ 及び $\leftarrow B \leftarrow$ は実橋の閉ラーメン曲げ剛性の調査結果を示すもので、それを構成する4枚の平板より成る閉ラーメン及び横リブを考慮した閉ラーメンの領域を示すものである。これらの図よりわかるところを要約すると以下の通りである。

- 1) $\beta L_D > 2$ の範囲では γ の変化に対して無次元付加力学量は一定値を示す。
- 2) 閉ラーメンの曲げ剛性として箱桁のフランジ及び腹板のみを考慮する場合、 βL_D はほとんどが0.5以下で、この範囲では断面変形挙動は βL_D に無関係である。
- 3) 横リブを考慮する場合、 $\beta L_D > 0.5$ で γ が小さい程 βL_D の影響は顕著である。しかし、 $\gamma > 20$ とすると、無次元化付加力学量に対する βL_D の影響はあまりなく、文献1)の $\gamma > 30$ の提案は多少安全側であるが合理的である。

4. ダイアフラムの必要剛度に関する提案

横リブ剛度の補剛効果は γ が小さくなるにつれて顕著になることに着目し、断面変形に伴う付加ドリフト力と箱桁の許容応力度の2%程度に抑えるという基準のもとで任意のダイアフラム間隔と剛度が選べる設計法を提案する。

断面変形に伴う付加ドリフト力は任意のダイアフラム間隔及ぶ剛度のもとで、等分布する荷重 P_0 及び集中する荷重 P_0 に対して以下のように定義される。

$$\sigma_{DW}^u = \frac{f_u(\beta L_0, \gamma) P_u L_0^2}{I_{DW}} \phi_{max}, \quad \sigma_{DW}^c = \frac{f_c(\beta L_0, \gamma) P_u L_0}{I_{DW}} \phi_{max}. \quad (4)_{a,b}$$

ここで、 f_u 及び f_c は βL_0 及び γ の関数で図 1, 2 に示すものである。また、 ϕ_{max} は各り関数の最大値である。次に、各り応力度と桁の曲げ応力度（すれ荷重に対する対称曲げ荷重成分による曲げ応力度）の比率を考え、各り応力度と桁の許容応力度の 2%以内に抑えないとすれば以下の式を得る。¹⁾

$$24 f_u(\beta L_0, \gamma) (L_0/L_u)^2 + 360 f_c(\beta L_0, \gamma) (L_0/L_u^2) < F_{cr}/100 \cdot (1 + 30/L_u) \quad (F_{cr}=7.5) \quad (5)$$

β を $1.3 \times \gamma - 1$ として任意のダイアフラム間隔のもとで荷重剛度 γ を求めるための図を図 3～5 に示す。図中、□ 内の数値は、各り応力度を桁の許容応力度の 4%程度まで仮に許容するとした場合の値である。

この図を用いて設計する場合の手順は、1) 式(2)より β を求めよ。2) L_0 を決定する。このとき、最大間隔は文献 1) の許容間隔を目安とする。3) 等価支間長 L_u を決定する。4) 図 3～5 より γ を求める。となる。

5. 一般長大橋のダイアフラム設計法

斜張橋のように曲げモーメントに関する等価支間長が判然としない場合には表-1 に示す設計ルーチンを提案する。

6.まとめ

- 1) 橫リブの断面変形に及ぼす補剛効果を明確化するとともに、既往の設計法の理論的位置づけを明確にした。
- 2) 橫リブの補剛効果を考慮したより自由性の高い設計ルーチンを提案した。あわせて、等価支間長の判然としない長大橋梁に対する一設計ルーチンを提案した。

参考文献 1) 坂井・辰巳：鋼箱桁橋の中間ダイアフラム設計法に関する一試案

、土木学会論文

報告集、1977

2) IDWR, 1973

3) 中井・村山：

土木学会論文報

告集、1981年

4) H.Pins, C.R.:

AISCE Engineering

Journal, Fourth

Quarter, 1978

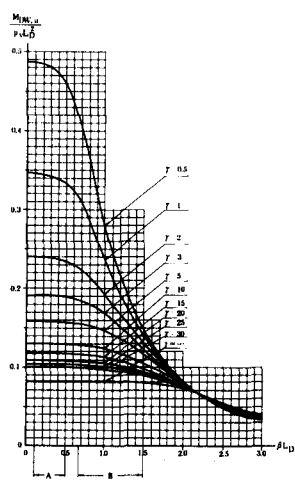


図-3 等分離せね荷重による最大モーメント

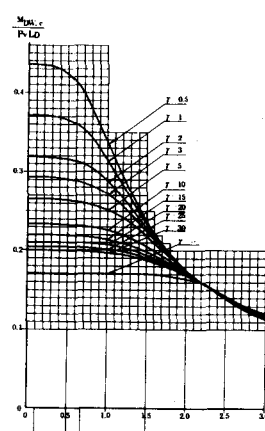


図-4 集中せね荷重による最大モーメント

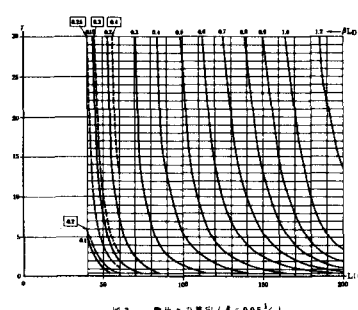


図-5 集中せね荷重 (β = 0.05 V/m)

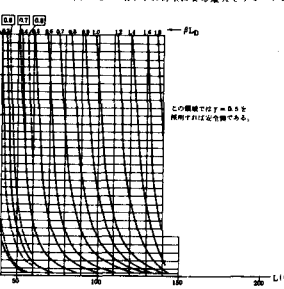


図-6 集中せね荷重 (β = 0.1 V/m)

表-1 一般長大橋の中間ダイアフラム設計ルーチン

